

В.В. Козодеров, В.С. Косолапов

## ОПТИЧЕСКОЕ ЗОНДИРОВАНИЕ БИОСФЕРЫ ПО МНОГОСПЕКТРАЛЬНЫМ АЭРОКОСМИЧЕСКИМ ИЗОБРАЖЕНИЯМ

Предлагается новый метод оценки параметров почв и растительности по многоспектральным самолетным и спутниковым данным. Основу методики составляет усовершенствованная концепция «яркости почвы» и «показателя зеленого цвета растительности», а также модели взаимодействия оптического излучения с атмосферой и поверхностью суши. Показаны некоторые примеры зависимостей между данными спутниковых измерений и биомассой растительности.

### Введение

Опыт изучения Земли из космоса в 1980-е годы показал, что с точки зрения проблемы глобальных изменений наибольшие перспективы имеют данные спутниковых сканирующих радиометров невысокого пространственного разрешения (порядка 1 км), позволяющих в течение суток несколько раз оперативно получать информацию о системе «земная поверхность — атмосфера» по всему земному шару [1]. Были продемонстрированы определенные преимущества систем такого временного разрешения перед системами высокого пространственного разрешения (десятки метров), которые служат вспомогательным средством тематической интерпретации получаемых изображений в видимой и инфракрасной (ПК) областях спектра. Такое назначение этих последних систем обусловлено их невысоким охватом территории в момент съемки, что приводит к возможности повторного покрытия одних и тех же регионов лишь через 2–3 недели, а на практике (по условиям освещения, облачности и т.д.) через месяцы. Следствием сказанного является невозможность их использования, например, для мониторинга динамики развития растительности и увлажнения почв.

Было показано, что многоспектральный характер соответствующих измерений в максимальной степени способствует применению упомянутых систем того и другого типа для исследований биосферы, в которых атмосфера выступает в роли помехи при обработке, интерпретации и последующей оценке параметров состояния поверхности суши по данным дистанционного оптического зондирования. Существенный прогресс в этом направлении связан с доказательством существования связей между широко используемыми на практике нормированными вегетационными индексами (NDVI) — некоторыми комбинациями измерительных каналов сканирующих радиометров, поглощенной фотосинтетически активной радиацией (ФАР) и первичной биопродуктивностью растительности (скоростью изменения объема фитомассы за вегетационный период) [2]. До некоторой степени альтернативой концепции вегетационных индексов служит концепция *B, G* координат [3] — получение других комбинаций измерительных каналов типа «яркость почвы» (*B*) и «показатель зеленого цвета растительности» (*G*), что позволяет увязать результаты многоспектральных спутниковых измерений с самолетно-вертолетными и наземными спектрорадиометрическими и биофизическими измерениями, способствуя тем самым обоснованию состава необходимых технических средств при проведении комплексных подспутниковых экспериментов [4].

Мы рассмотрим преимущества второй из упомянутых концепций, развитие которой способствует обоснованному сбору и систематизации априорных, опорных и других данных, необходимых для объективной количественной оценки состояния растительности и почв [5].

### Моделирование отражательных свойств растительности и почв

При исследовании биосферы с помощью аэрокосмической аппаратуры в настоящее время наиболее широко используются измерения в отдельных спектральных каналах видимой и ближней инфракрасной (ИК) областях спектра. В качестве примера на рис. 1 приведены кривые спектральной чувствительности  $R(\lambda)$  ( $\lambda$  — длина волны измерений) радиометра AVHRR и аппаратуры MSS, установленных соответственно на спутниках NOAA и LANDSAT (США). Некоторым аналогом аппаратуры MSS является трехканальная аппаратура МСУ-Э (пространственное разрешение 45 м), установленная на советском спутнике «Космос-1939». Описанные типы аппаратур будут использованы далее для иллюстрации результатов предлагаемого нового метода оценки параметров растительности и почв по многоспектральным аэрокосмическим изображениям.

Уходящее излучение в наиболее общем случае для объекта измерении с индексом *i* в *j*-м канале измерительной аппаратуры *k*-го типа вблизи земной поверхности можно записать в следующем виде:

$$L_j(i, n, k, r, M, \theta, \phi, h_{\odot}) = \frac{1}{2\pi} \int_0^{2\pi} \int_0^{\pi/2} \int_{\lambda_1}^{\lambda_2} [E_s(n, \lambda, h_{\odot}, \phi') + H_s(n, \lambda, h_{\odot}, \theta', \phi')] \rho_i(\lambda, r, M, \theta, \phi, \theta', \phi') \times \\ \times R_j(k, \lambda, \Omega) \cos \theta' d\lambda d\theta' d\phi', \quad (1)$$

где  $E_s(n, \lambda, h_{\odot}, \phi')$  — прямая солнечная радиация на уровне земли;  $H_s(n, h_{\odot}, \theta', \phi')$  — рассеянное солнечное излучение у поверхности земли;  $h_{\odot}$  — высота Солнца;  $n$  — тип атмосферы (см. ниже), определяющийся прозрачностью  $P$  и яркостью атмосферной дымки  $D$  ( $1 \leq n \leq 4$ );  $\rho_i(\lambda, r, M, \theta, \phi, \theta', \phi')$  — функция бинаправленного отражения (индикаторика отражения);  $M$  — биомасса растительности (т/га);  $\theta, \phi$  — зенитный угол и азимут визирования;  $\theta', \phi'$  — аналогичные углы для падающего на земную поверхность излучения;  $r$  — почвенный параметр, учитывающий тип, влажность, состояние поверхности почвы;  $R_j(k, \lambda, \Omega)$  — спектральная чувствительность (приборная функция) аппаратуры в соответствующем канале, заключенном между длинами волн  $\lambda_1$  и  $\lambda_2$  с пространственным разрешением, определяемым углом поля зрения  $\Omega$ . Индекс  $i$  в дальнейшем, как правило, будем опускать. Из (1) видно, что угловое распределение интенсивности отраженной радиации зависит от физических свойств и состояния отражающей поверхности, а также от условий облучения поверхности падающей радиацией. Условия облучения определяются главным образом высотой Солнца ( $h_{\odot}$ ), прозрачностью атмосферы и облачностью. Таким образом, интенсивность отраженной радиации для данной поверхности является функцией углов: угла падения освещющей радиации ( $\theta'$ ), угла отражения ( $\theta$ ) и разности азимутов углов направления падающей и отраженной радиации, определяющих функцию  $\rho_i(\dots, \theta, \phi, \theta', \phi')$ , называемую индикаторикой отражения поверхности (или бинаправленной функцией отражения).

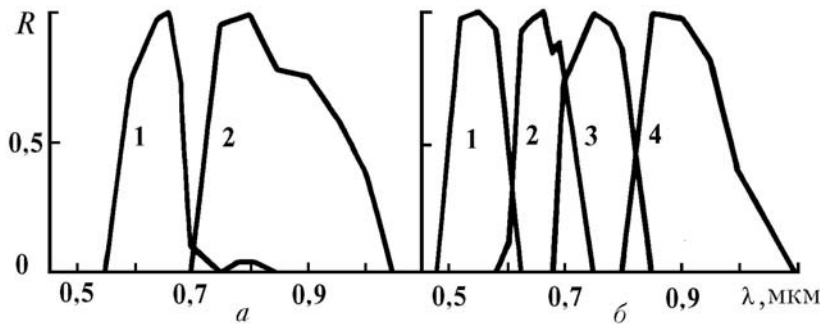


Рис. 1. Спектральные каналы аппаратуры AVHRR (a) и MSS (б)

В практических приложениях, как правило, используются значения  $L$ , нормированные на какую-либо характерную, достаточно большую величину излучения, например, на энергетическую яркость приходящего прямого солнечного излучения в соответствующем канале измерительной аппаратуры (т.е. измерять  $L_{1,2}$  в долях солнечной яркости):

$$\hat{L}_1(i, n, k, r, M, \theta, \phi, h_{\odot}) = \frac{L_1(i, n, k, r, M, \theta, \phi, h_{\odot})}{L_1^{\odot}(k)}, \\ \hat{L}_2(i, n, k, r, M, \theta, \phi, h_{\odot}) = \frac{L_2(i, n, k, r, M, \theta, \phi, h_{\odot})}{L_2^{\odot}(k)}, \quad (2)$$

где  $L_{1,2}^{\odot}(k) = \int_{\lambda_1}^{\lambda_2} E_s^{\downarrow}(\lambda) R_j(k, \lambda, \Omega) d\lambda$ ,  $E_s^{\downarrow}(\lambda)$  — прямая солнечная радиация, приходящая на верхнюю границу атмосферы (измеряемая на уровне спутника). Для краткости далее будем опускать верхний значок нормировки у  $L$ , а также её зависимость от всех упомянутых параметров.

Объекты почвенно-растительного покрова при наблюдении на различных измерительных каналах спутниковой или самолетной аппаратуры и их отображения в координатах  $L_1, L_2$  могут группироваться вокруг «линии почв» или «линии растительности» (рис. 2.).

В первом случае разброс точек характеризует переход от темных почв (увлажненные почвы или почвы с большим содержанием гумуса) к светлым, сухим, менее плодородным. Во втором случае заметен переход от редкой растительности к густой ярко-зеленой с большим объемом фитомассы. Так возникла концепция анализа данных аэрокосмических съемок почвенно-растительного покрова в координатах «яркость почвы»  $B$  (*brightness*) — «показатель зеленого цвета растительности»  $G$  (*greenness*), которые дают возможность отнести отдельные элементы спутниковых изображений к классам

сам «почва», «нормальная растительность» и «растительность, находящаяся в стрессовом состоянии». Величины  $B$  и  $G$  являются линейными комбинациями значений уходящего излучения ( $L_1, L_2$ ) в измерительных каналах ( $x_1, x_2$ ), и в случае приземных измерений эта связь имеет наиболее простой вид

$$\begin{aligned} B(n, k, r, M, \theta, \varphi, h_{\odot}) &= a_1^b(n, k, r, \theta, \varphi, h_{\odot}) L_1 + a_2^b(n, k, r, \theta, \varphi, h_{\odot}) L_2; \\ G(n, k, r, M, \theta, \varphi, h_{\odot}) &= a_1^g(n, k, r, \theta, \varphi, h_{\odot}) L_1 + a_2^g(n, k, r, \theta, \varphi, h_{\odot}) L_2, \end{aligned} \quad (3)$$

где  $a_{1,2}^{b,g}(n, k, r, \theta, \varphi, h_{\odot})$  — коэффициенты преобразования при переходе от «старой» ( $L_1, L_2$ ) к «новой» ( $B, G$ ) ортогональной системе при левом повороте системы ( $L_1, L_2$ ) на угол  $\alpha_j = \arccos a_1^b(n, k, \theta, \varphi, h_{\odot})$ . Эти коэффициенты определяются методом наименьших квадратов: сначала находится тангенс угла наклона ( $\operatorname{tg} \check{z}$ ) регрессионной прямой для множества «почвенных точек» без растительности ( $M = 0$ ), после чего новая система координат ( $B, G$ ) определяется левым поворотом старой системы ( $L_1, L_2$ ) на угол  $\alpha_j = \operatorname{arctg} \check{z}$ . Соответственно коэффициенты поворота имеют вид

$$\begin{aligned} a_1^b(n, k, \dots, h_{\odot}) &= \cos \alpha_j, \quad a_2^b(n, \dots, h_{\odot}) = \sin \alpha_j, \\ a_1^g(n, \dots, h_{\odot}) &= -\sin \alpha_j, \quad a_2^g(n, \dots, h_{\odot}) = \cos \alpha_j. \end{aligned} \quad (4)$$

Сказанное относительно указанных преобразований проиллюстрировано на рис. 2. Выбрав в качестве координаты  $B$  направление возрастания яркости почв, соответствующее нулевой фитомассе растительного покрова, можно видеть и появление другой (перпендикулярной к оси почв) координатной оси в направлении возрастания показателя зеленого цвета  $G$ , определяющего рост наземной фитомассы растительности. Данные рис. 2 основаны на результатах самолетных спектрометрических измерений при разных значениях фитомассы  $M$  (пшеница) от 1 до 30 т/га при наблюдении в надир [6]. Из рис. 2 видно, что с ростом  $M$  все измерительные точки сливаются, объединяясь в единый класс «сплошной растительный покров». Очевидно, что промежуточные состояния растительности между «классом почв» и «сплошной растительности» в ряде случаев могут рассматриваться как «растительность, находящаяся в стрессовом состоянии».

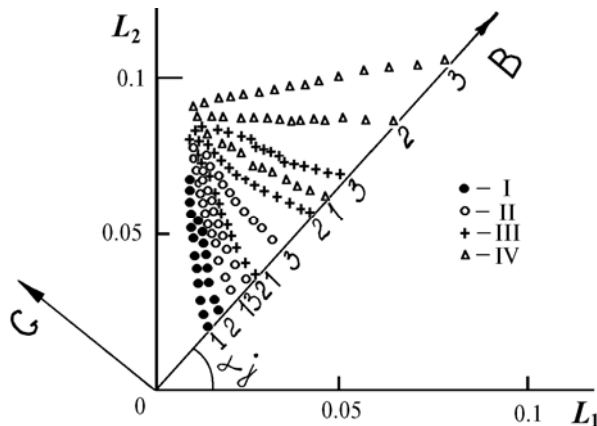


Рис. 2. Результаты самолетных измерений величин  $L_1, L_2$  для 2 и 4 каналов MSS растительности (озимая пшеница) со значениями фитомассы  $M$  от 0 (вдоль оси  $B$ ) до 30 т/га (область стущения точек) и разными типами почв: I — чернозем; II — темно-каштановые; III — дерново-подзолистые; IV — сероземные; кривая 1 — при полном увлажнении почв, 2 — при 50%-м увлажнении, 3 — сухие.  $B, G$  — новая система координат,  $\alpha_j$  — ее угол поворота относительно осей  $L_1, L_2$

### Искажающее влияние атмосферы

Мы рассматриваем здесь простейшую модель влияния атмосферы на трансформацию излучения, отраженного системой «почва — растительность».

Для принимаемого на спутнике излучения  $L_j^*$  будем использовать простейшую модель его связи с  $L_j$ , измеряемой у земной поверхности, в виде

$$\left. \begin{aligned} L_1^* &= L_1 P_1(n, k, \theta) + D_1(n, k, \theta) \\ L_2^* &= L_2 P_2(n, k, \theta) + D_2(n, k, \theta) \end{aligned} \right\}, \quad (5)$$

где  $P_{1,2}(n, k, \theta)$  и  $D_{1,2}(n, k, \theta)$  — соответственно прозрачность атмосферы и яркость атмосферной дымки в каналах 1 и 2 (1 — коротковолновый, 2 — длинноволновый). Строгие выражения для обеих этих величин в случае необходимости могут быть представлены в терминах теории переноса излучения [7]. Используя эти соотношения, а также выражения (3), получаем:

$$\begin{aligned} B(n, k, r, M, \theta, \varphi, h_\odot) &= \frac{a_1^b(n, \dots, h_\odot)}{P_1(n, k, \theta)} L_1^* + \frac{a_2^b(n, \dots, h_\odot)}{P_2(n, k, \theta)} L_2^* - \left( \frac{a_1^b(n, \dots, h_\odot)}{P_1(n, k, \theta)} D_1(n, k, \theta) + \right. \\ &\quad \left. + \frac{a_2^b(n, \dots, h_\odot)}{P_2(n, k, \theta)} D_2(n, k, \theta) \right); \\ G(n, k, r, M, \theta, \varphi, h_\odot) &= \frac{a_1^g(n, \dots, h_\odot)}{P_1(n, k, \theta)} L_1^* + \frac{a_2^g(n, \dots, h_\odot)}{P_2(n, k, \theta)} L_2^* - \left( \frac{a_1^g(n, \dots, h_\odot)}{P_1(n, k, \theta)} D_1(n, k, \theta) + \right. \\ &\quad \left. + \frac{a_2^g(n, \dots, h_\odot)}{P_2(n, k, \theta)} D_2(n, k, \theta) \right). \end{aligned} \quad (6)$$

Если аналогично (3) для значений яркости и показателя зеленого цвета, измеряемых со спутника, предположить, что

$$\begin{aligned} B^*(n, k, r, M, \theta, \varphi, h_\odot) &= a_1^{*b}(n, \dots, h_\odot) L_1^* + a_2^{*b}(n, \dots, h_\odot) L_2^*; \\ G^*(n, k, r, M, \theta, \varphi, h_\odot) &= a_1^{*g}(n, \dots, h_\odot) L_1^* + a_2^{*g}(n, \dots, h_\odot) L_2^*, \end{aligned} \quad (7)$$

то, используя выражение (6), можно связать «старые» (на уровне земли) и «новые» (на уровне спутника) значения яркости и показателя зеленого цвета:

$$\begin{aligned} B(n, \dots, h_\odot) &= B^*(n, \dots, h_\odot) - \Delta B_D(n, \dots, h_\odot); \\ G(n, \dots, h_\odot) &= G^*(n, \dots, h_\odot) - \Delta G_D(n, \dots, h_\odot), \end{aligned} \quad (8)$$

где  $\Delta B_D(n, \dots, h_\odot)$  и  $\Delta G_D(n, \dots, h_\odot)$  — поправки за счет влияния атмосферы (эти поправки в (6) взяты в скобки), зависящие от яркости атмосферной дымки, а связь между «новыми» и «старыми» коэффициентами очевидна:

$$\begin{aligned} a_1^{*b}(n, \dots, h_\odot) &= \frac{a_1^b(n, \dots, h_\odot)}{P_1(n, k, \theta)}, \quad a_2^{*b}(n, \dots, h_\odot) = \frac{a_2^b(n, \dots, h_\odot)}{P_2(n, k, \theta)}; \\ a_1^{*g}(n, \dots, h_\odot) &= \frac{a_1^g(n, \dots, h_\odot)}{P_1(n, k, \theta)}, \quad a_2^{*g}(n, \dots, h_\odot) = \frac{a_2^g(n, \dots, h_\odot)}{P_2(n, k, \theta)}. \end{aligned} \quad (9)$$

Если бы для каждого класса растительности была собрана следующая полная информация: для разных высот Солнца  $h_\odot$ , разных типов растительности и значений их биомасс  $M$  найдены их индикаторы  $\rho_i(\lambda, r, M, \theta, \varphi, \theta', \varphi')$ , угловое распределение прямой и рассеянной солнечной радиации, то можно было последовательно по вышеприведенным формулам вычислить коэффициенты  $a_{1,2}^{*b,g}$ , а также  $B$ -,  $G$ -характеристики с учетом их угловой неизотропности.

К сожалению, в настоящее время мы не располагаем такими систематизированными данными об индикаторах различных растительных культур.

Можно, однако, указать, основываясь на известных литературных данных [6, 8], что при определенных условиях наблюдения при высотах Солнца  $h_\odot \gtrsim 30^\circ$  и углах визирования до  $25-30^\circ$ , а также при азимутах визирования  $\varphi$ , удаленных от плоскости солнечного вертикала, т.е. при  $\varphi$ , близких к  $90$  и  $270^\circ$ , — анизотропия отражения системы «почва — растительность» в видимом и ближнем ИК-диапазоне спектра относительно невелика (менее 15%), и можно в первом приближении не учитывать угловую изменчивость отражательных свойств системы «почва — растительность».

Ограничиваюсь теперь условиями относительно изотропных (Ламбертовых) растительных поверхностей (при выполнении вышеуказанных условий), для уходящего излучения вблизи объекта измерений имеем

$$L_j(n, k, r, M, h_{\odot}) = \frac{1}{\pi} \int_{\lambda_1}^{\lambda_2} [E_s(n, \lambda, h_{\odot}) + H_s(\lambda, h_{\odot})] \rho_i(n, \lambda, r, M) R_j(k, \lambda, \Omega) d\lambda . \quad (1')$$

Далее сохраняется весь вышеприведенный подход, включающий в себя нормирование значений  $L_{t,2}$  на яркость приходящего прямого солнечного излучения, нахождение искаженных атмосферой значений  $L_{1,2}^*$  и т.д.

Таблица 1

**Значения прозрачности атмосферы и атмосферной дымки (Вт/м<sup>2</sup> ·ср)  
для четырех состояний атмосферы и аппаратуры MSS при наблюдении в надир**

Параметр	MSS, 2- и 4-й каналы				MSS, 1- и 3-й каналы			
	<i>a</i>	<i>b</i>	<i>c</i>	<i>d</i>	<i>a</i>	<i>b</i>	<i>c</i>	<i>d</i>
$D_1$	1,90	1,35	0,95	0,65	4,00	2,90	2,10	1,50
$D_2$	1,60	1,15	0,80	0,55	1,30	0,90	0,65	0,45
$P_1$	0,78	0,82	0,86	0,89	0,71	0,75	0,80	0,85
$P_2$	0,86	0,89	0,92	0,96	0,82	0,86	0,89	0,93

Задача оценки влияния атмосферы на спутниковые изображения упрощается в силу существования связи величин  $P_{1,2}$  и  $D_{1,2}$ . Поэтому для исследования ее влияния вместо двухпараметрического семейства  $(P, D)$  можно использовать характеристику «тип атмосферы»  $n$ . В табл. 1 для примера приведены четыре типа возможных сочетаний значений  $P_{1,2}$  и  $D_{1,2}$  (для наблюдений в надир ( $\theta = 0^\circ$ )) и аппаратуры MSS, которые, по-видимому, перекрывают весь диапазон встречающихся состояний атмосферы и соответствуют следующим состояниям замутненности атмосферы;  $a$  и  $b$  — сильное,  $c$  — умеренное и  $d$  — слабое замутнение. При наблюдении под углом  $\theta$  для связи  $P_{1,2}$  и  $D_{1,2}$  с их значениями в надир имеем

$$P_{1,2}(\theta) P_{1,2}(0)^{m(\theta)}, \quad D_{1,2}(\theta) = D_{1,2}(0) + \frac{\partial D_{1,2}(0)}{\partial P_{1,2}} (P(\theta) - P(0)),$$

где  $m(\theta)$  — оптическая масса атмосферы

В табл. 2 приведены коэффициенты  $a_{1,2}^{*b,g}$  перевода значений  $L_1^*, L_2^*$  в координаты  $B^*, G^*$  для четырех вышеупомянутых состояний атмосферы, некоторых углов  $\theta$  и  $h_{\odot}$  и аппаратуры MSS, 2- и 4-й каналы.

Таблица 2

**Коэффициенты  $a_{1,2}^{*b,g}$  перевода измеренных со спутника значений  $L_1^*, L_2^*$  в координаты  $B^*, G^*$   
для различных состояний атмосферы, углов  $\theta$  и  $h_{\odot}$  и аппаратуры MSS, 2- и 4-й каналы**

$\theta$	Коэффициенты	$h_{\odot}$							
		70°				33°			
$0^\circ$	$a_1^{*b}$	0,741	0,720	0,698	0,675	0,796	0,749	0,720	0,693
	$a_2^{*b}$	0,955	0,910	0,867	0,833	0,917	0,890	0,852	0,820
	$a_1^{*g}$	-1,046	-0,994	-0,938	-0,898	-1,005	-0,972	-0,922	-0,885
	$a_2^{*g}$	0,676	0,659	0,645	0,626	0,726	0,686	0,665	0,642
$15^\circ$	$a_1^{*b}$	0,759	0,734	0,709	0,683	0,816	0,765	0,731	0,701
	$a_2^{*b}$	0,970	0,921	0,874	0,836	0,931	0,900	0,859	0,824
	$a_1^{*g}$	-1,073	-1,014	-0,953	-0,909	-1,030	-0,922	-0,936	-0,895
	$a_2^{*g}$	0,686	0,667	0,651	0,628	0,738	0,694	0,670	0,645

На рис. 3 представлены рассчитанные по (7) в надир зависимости  $B$ ,  $G$  и  $B^*$ ,  $G^*$  от  $M$  для 1- и 3-го каналов MSS (атмосферные условия типа  $a$ , почвы сухие). Виды значительные вариации зависимости  $B(M)$  при разных почвах, в отличие от более устойчивой зависимости  $G(M)$ . При увеличении  $M$  величины  $B$  и  $G$  стремятся к некоторым асимптотическим значениям. Характерным является отрицательный сдвиг кривых на уровне верхней границы атмосферы относительно соответствующих кривых  $G$  на уровне земли. Этот сдвиг определяет влияние атмосферы как помехи.

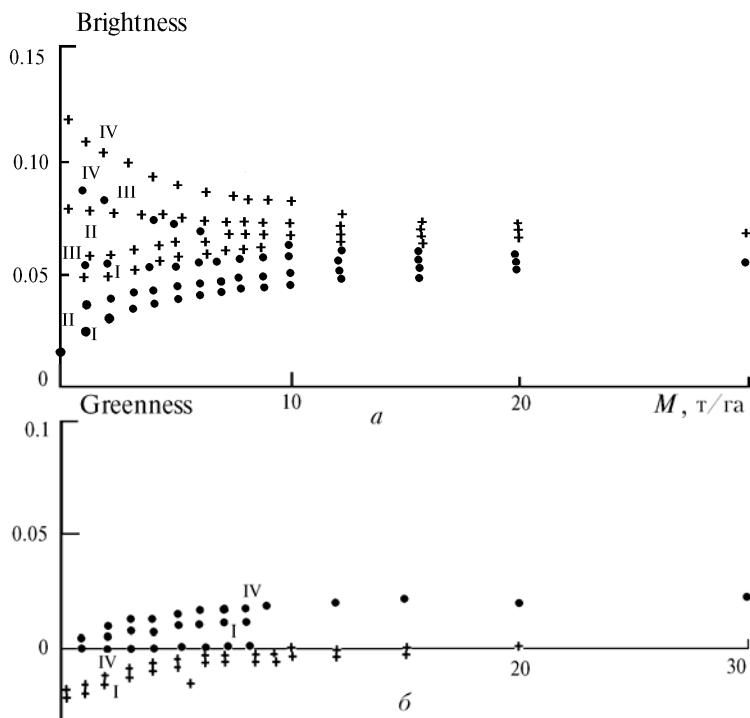


Рис. 3. Зависимость яркости почвы (а) и показателя зеленого цвета (б) от биомассы растительности по данным [6] вблизи земной поверхности (точки) и на верхней границе сильно замутненной (а) атмосферы (крестики). Аппаратура MSS, 1- и 3-й каналы. Римскими цифрами обозначены типы почв, которые соответствуют рис. 2

Наличие зависимости  $B^*$  от почвенных параметров (рис. 2) и  $G^*$  от  $M$  растительности (рис. 3) позволяет использовать эти характеристики для восстановления почвенных и растительных параметров на основе специальных математических преобразований, использующих процедуры полиномиальной аппроксимации. При этом, однако, необходимо оценить влияние различных мешающих факторов, найти пути для уменьшения этого влияния, а также сформулировать обоснованные требования к аэрокосмической измерительной аппаратуре и условиям съемки. Соответствующие результаты будут продемонстрированы в последующих наших публикациях.

1. Asrar G. Theory and application of optical remote sensing. New York: John Wiley and Sons. 1989. 890 p.
2. Prince S. D. and Justice C. O. // Int. J. Remote Sens. 1991. № 12. P. 1133–1422.
3. Ciccone R. C. and Metzler M. D. Comparison of Landsat MSS, Nimbus-7, CZCS, and NOAA-7 AVHRR features for land-use analyses. Remote Sens. Environ.. 1984. № 14. P. 257–265.
4. Кондратьев К. Я., Козодоров В. В., Федченко П. П., Топчинев А. Г. Биосфера: методы и результаты дистанционного зондирования. М., 1990. 224 с.
5. Козодоров В. В. Математическая модель восстановления параметров растительности и почв по данным спутниковых измерений // Фундаментальные науки — народному хозяйству. М.: Наука, 1990. С. 13–16.
6. Рачкулик В. И., Ситникова М. В. Отражательная способность и состояние растительного покрова. Л.: Гидрометеоиздат, 1981. 288 с.
7. Сигган Р. Дж., Foody G. M., Kondratyev K. Ja., Kozodorov V. V., Fedchenko P. P. Remote sensing of soils and regradation in the USSR. London: Taylor and Francis. 1990. 203 p.
8. Кондратьев К. Я., Биненко В. И., Дьяченко Л. Н. и др. Альбедо и угловые характеристики отражения подстилающей поверхности и облаков. Л.: Гидрометеоиздат, 1981. 232 с.

Институт вычислительной математики РАН,  
Москва

Поступила в редакцию  
20 апреля 1992 г.

V. V. Kozodorov, V. S. Kosolapov. **Remote Optical Sensing of the Biosphere using Multispectral Images.**

A new technique to estimate soil and vegetation parameters is proposed using multispectral airborne and satellite data. The technique is based on improved brightness-greenness concept and models of interaction of the atmosphere and earth's surface with optical radiation. Some examples of interrelation between the biomass of vegetation and satellite data are presented.